

### 3.4.6 2005年夏季(7~8月)分析結果

結果は、以下の表及び図としてまとめた。なお、値はすべてヒ素換算値とした。

表 3.4.8 2005年夏季(7~8月)地下水分析結果一覧表

図 3.4.13 2005年夏季(7~8月)ABトラック地下水 DPAA 汚染状況図

図 3.4.14 2005年夏季(7~8月)A井戸周辺地下水 DPAA 汚染状況図

図 3.4.15 2005年夏季(7~8月)B地区地下水 DPAA 汚染状況図

#### 1) A井戸周辺

春季に比べ全体に濃度は低下傾向にあるが、依然として、A井戸の南東地域(No.72)と南西地域(No.39、No.79)で高濃度の汚染が認められる。

この減少がA井戸南東90m地点で発見されたコンクリート様の塊の除去及びA井戸近傍で実施した揚水試験の効果と言えるかどうかは、引き続きモニタリングを継続した上で判断すべきと考えられる。A井戸の南西地域は、特に浅部において濃度低下が認められる。

また、グラント北西角(No.27、No.155)においても、本年春季より濃度が低下している。

#### 2) B地区

春季に引き続き、B地区中心の深部を主体に数百 $\mu\text{g-As/L}$ の汚染が認められ、周辺に向かって薄くなる傾向がある。また、B地区北側地域の深部(No.172、No.171、No.62、No.196)で非常に低濃度ながら汚染が確認された。

#### 3) AB間

春季に引き続き、いくつかの地点で、非常に薄い汚染が確認されているほか、AB間中央部よりやや東側の井戸(No.56)の深部では本年春季より濃度が増加している。

#### 4) ABトラック外周

春季のモニタリング結果により、モニタリング孔のうちABトラック南西端に設置したM-3孔においてジフェニルアルシン酸(DPAA)が検出されたことを受けて、同孔の更に外縁部に新たに6本のモニタリング孔(M18~M23)を設置した。

本夏季測定の結果、M-3孔とともに同孔の南西地域に設置したM-20孔からもジフェニルアルシン酸(DPAA)を検出した。これを受けて、M-20孔から概ね200~300m圏内の全ての飲用井戸の検査を行ったところ、6箇所の飲用井戸よりジフェニルアルシン酸(DPAA)が検出された。

表3.4.4.8 2005年夏季(7~8月)地下水分析結果一覽表

地点番号	地区	深度(m)	採水日	DPAA	地点番号	地区	深度(m)	採水日	DPAA	地点番号	地区	深度(m)	採水日	DPAA
65	B	10	7月28日	ND.	181	AB	10	8月1日	ND.	181	AB	10	8月1日	ND.
65	B	20	7月28日	ND.	181	AB	20	8月1日	ND.	181	AB	20	8月1日	ND.
65	B	30	7月28日	ND.	181	AB	30	8月1日	23.5	181	AB	30	8月1日	23.5
66	B	10	7月28日	ND.	180	AB	10	8月1日	ND.	180	AB	10	8月1日	ND.
66	B	20	7月28日	ND.	180	AB	20	8月1日	ND.	180	AB	20	8月1日	ND.
66	B	29	7月28日	ND.	180	AB	29	8月1日	2.0	180	AB	29	8月1日	2.0
57	B	10	7月28日	ND.	198	AB	10	8月1日	ND.	198	AB	10	8月1日	ND.
57	B	26	7月28日	1.1	198	AB	26	8月1日	ND.	198	AB	26	8月1日	ND.
64	B	10	7月25日	7.1	51	A	10	8月1日	ND.	51	A	10	8月1日	ND.
64	B	20	7月25日	ND.	51	A	20	8月1日	ND.	51	A	20	8月1日	ND.
64	B	30	7月25日	45.5	51	A	30	8月1日	ND.	51	A	30	8月1日	ND.
173	B	10	7月29日	ND.	48	A	10	8月1日	ND.	48	A	10	8月1日	ND.
173	B	20	7月29日	655.1	48	A	20	8月1日	67.2	48	A	20	8月1日	67.2
173	B	30	7月29日	1046.6	48	A	30	8月1日	ND.	48	A	30	8月1日	ND.
190	B	10	7月28日	ND.	50	A	10	8月1日	ND.	50	A	10	8月1日	ND.
172	B	10	7月28日	ND.	50	A	20	8月1日	ND.	50	A	20	8月1日	ND.
172	B	29	7月28日	2.7	50	A	29	8月1日	ND.	50	A	29	8月1日	ND.
188	B	10	7月28日	ND.	30	A	10	8月3日	ND.	30	A	10	8月3日	ND.
169	B	10	7月28日	ND.	30	A	25	8月3日	ND.	30	A	25	8月3日	ND.
169	B	30	7月28日	192.7	27	A	10	8月3日	18.6	27	A	10	8月3日	18.6
189	B	10	7月28日	ND.	27	A	20	8月3日	58.9	27	A	20	8月3日	58.9
67	B	10	7月28日	ND.	155	A	10	8月3日	153.2	155	A	10	8月3日	153.2
67	B	20	7月28日	ND.	155	A	20	8月3日	146.4	155	A	20	8月3日	146.4
67	B	30	7月28日	ND.	155	A	30	8月3日	749.5	155	A	30	8月3日	749.5
170	B	10	7月28日	ND.	47	A	10	8月3日	ND.	47	A	10	8月3日	ND.
170	B	20	7月28日	11.0	47	A	20	8月3日	ND.	47	A	20	8月3日	ND.
170	B	30	7月28日	301.6	49	A	10	8月3日	ND.	49	A	10	8月3日	ND.
166	B	20	7月28日	307.9	49	A	20	8月3日	ND.	49	A	20	8月3日	ND.
166	B	30	7月28日	327.2	49	A	28	8月3日	ND.	49	A	28	8月3日	ND.
187	B	10	7月28日	ND.	156	A	10	8月3日	ND.	156	A	10	8月3日	ND.
58	B	10	7月28日	390.8	156	A	20	8月3日	ND.	156	A	20	8月3日	ND.
58	B	20	7月28日	432.3	156	A	30	8月3日	1122.0	156	A	30	8月3日	1122.0
58	B	29	7月28日	406.4	40	A	10	8月3日	2.0	40	A	10	8月3日	2.0
171	B	10	7月28日	ND.	40	A	20	8月3日	1.8	40	A	20	8月3日	1.8
171	B	20	7月28日	202.1	79	A	10	8月3日	7.7	79	A	10	8月3日	7.7
171	B	30	7月28日	367.5	79	A	20	8月3日	11.7	79	A	20	8月3日	11.7
54	B	10	7月28日	3.9	79	A	30	8月3日	281.38	79	A	30	8月3日	281.38
54	B	20	7月28日	61.4	39	A	10	8月2日	ND.	39	A	10	8月2日	ND.
191	B	10	7月29日	ND.	39	A	20	8月2日	241.0	39	A	20	8月2日	241.0
168	B	10	7月29日	ND.	39	A	30	8月2日	7378.5	39	A	30	8月2日	7378.5
168	B	29	7月29日	39.1	158	A	10	8月3日	ND.	158	A	10	8月3日	ND.
165	B	10	7月28日	ND.	158	A	20	8月3日	ND.	158	A	20	8月3日	ND.
165	B	20	7月28日	ND.	158	A	28	8月3日	ND.	158	A	28	8月3日	ND.
165	B	30	7月28日	ND.	6	A	10	8月2日	ND.	6	A	10	8月2日	ND.
167	B	10	7月29日	ND.	6	A	20	8月2日	32.1	6	A	20	8月2日	32.1
167	B	20	7月29日	198.3	34	A	10	8月3日	ND.	34	A	10	8月3日	ND.
162	B	10	7月28日	53.1	34	A	20	8月3日	ND.	34	A	20	8月3日	ND.
162	B	20	7月28日	80.0	42	A	10	8月2日	ND.	42	A	10	8月2日	ND.
162	B	29	7月28日	262.6	42	A	20	8月2日	15.3	42	A	20	8月2日	15.3
63	B	10	7月29日	ND.	7	A	10	8月3日	ND.	7	A	10	8月3日	ND.
63	B	20	7月29日	ND.	7	A	20	8月3日	ND.	7	A	20	8月3日	ND.
192	B	10	7月28日	ND.	7	A	26	8月3日	ND.	7	A	26	8月3日	ND.
163	B	10	7月28日	ND.	38	A	10	8月2日	ND.	38	A	10	8月2日	ND.
163	B	20	7月28日	376.3	38	A	20	8月2日	ND.	38	A	20	8月2日	ND.
163	B	29	7月28日	411.4	24	A	10	8月3日	ND.	24	A	10	8月3日	ND.
164	B	10	7月28日	ND.	24	A	20	8月3日	ND.	24	A	20	8月3日	ND.
164	B	20	7月28日	ND.	20	A	10	8月3日	3.5	20	A	10	8月3日	3.5
62	B	10	7月29日	ND.	20	A	18	8月3日	ND.	20	A	18	8月3日	ND.
62	B	20	7月29日	7.6	70	A	10	8月2日	ND.	70	A	10	8月2日	ND.
60	B	10	7月29日	ND.	8	A	10	8月3日	ND.	8	A	10	8月3日	ND.
60	B	20	7月29日	ND.	8	A	20	8月3日	32.1	8	A	20	8月3日	32.1
59	B	10	7月29日	ND.	89	A	10	8月3日	ND.	89	A	10	8月3日	ND.
59	B	20	7月29日	ND.	89	A	20	8月3日	ND.	89	A	20	8月3日	ND.
59	B	30	7月29日	11.1	89	A	28	8月3日	794.6	89	A	28	8月3日	794.6
195	B	10	7月29日	ND.	25	A	10	8月3日	ND.	25	A	10	8月3日	ND.
195	B	20	7月29日	ND.	25	A	20	8月3日	ND.	25	A	20	8月3日	ND.
195	B	30	7月29日	ND.	68	A	10	8月2日	ND.	68	A	10	8月2日	ND.
196	B	10	7月29日	ND.	68	A	20	8月2日	1.9	68	A	20	8月2日	1.9
196	B	20	7月29日	ND.	68	A	30	8月2日	4289.0	68	A	30	8月2日	4289.0
196	B	28	7月29日	5.0	13	A	10	8月2日	ND.	13	A	10	8月2日	ND.
61	B	10	7月29日	ND.	13	A	20	8月2日	ND.	13	A	20	8月2日	ND.
61	B	20	7月29日	ND.	13	A	30	8月2日	3.2	13	A	30	8月2日	3.2
193	AB	10	7月29日	ND.	74	A	10	8月2日	1.5	74	A	10	8月2日	1.5
193	AB	20	7月29日	ND.	74	A	20	8月2日	83.4	74	A	20	8月2日	83.4
193	AB	30	7月29日	ND.	160	A	10	8月2日	595.1	160	A	10	8月2日	595.1
174	AB	10	7月29日	ND.	160	A	20	8月2日	ND.	160	A	20	8月2日	ND.
174	AB	20	7月29日	ND.	160	A	30	8月2日	101.5	160	A	30	8月2日	101.5
174	AB	30	7月29日	47.6	35	A	10	8月2日	ND.	35	A	10	8月2日	ND.
175	AB	10	7月29日	ND.	35	A	18	8月2日	ND.	35	A	18	8月2日	ND.
175	AB	20	7月29日	ND.	37	A	10	8月2日	68.5	37	A	10	8月2日	68.5
175	AB	30	7月29日	ND.	37	A	20	8月2日	679.4	37	A	20	8月2日	679.4
55	AB	10	7月29日	ND.	71	A	10	8月2日	2.7	71	A	10	8月2日	2.7
55	AB	20	7月29日	ND.	71	A	20	8月2日	41.0	71	A	20	8月2日	41.0
194	AB	10	8月1日	ND.	71	A	30	8月2日	954.4	71	A	30	8月2日	954.4
194	AB	20	8月1日	ND.	72	A	10	8月2日	ND.	72	A	10	8月2日	ND.
194	AB	30	8月1日	24.4	72	A	20	8月2日	456.1	72	A	20	8月2日	456.1
194	AB	39	8月1日	23.9	72	A	30	8月2日	5683.0	72	A	30	8月2日	5683.0
178	AB	10	8月1日	ND.	73	A	10	8月2日	1.1	73	A	10	8月2日	1.1
178	AB	20	8月1日	ND.	73	A	20	8月2日	201.1	73	A	20	8月2日	201.1
177	AB	10	8月1日	ND.	36	A	10	8月2日	ND.	36	A	10	8月2日	ND.
177	AB	20	8月1日	ND.	36	A	20	8月2日	1.4	36	A	20	8月2日	1.4
177	AB	30	8月1日	65.2	69	A	10	8月2日	ND.	69	A	10	8月2日	ND.
176	AB	10	8月1日	ND.	69	A	20	8月2日	4.0	69	A	20	8月2日	4.0
179	AB	10	8月1日	ND.	69	A	30	8月2日	209.6	69	A	30	8月2日	209.6
179	AB	20	8月1日	ND.	43	A	10	8月2日	ND.	43	A	10	8月2日	ND.
179	AB	30	8月1日	ND.	43	A	19	8月2日	ND.	43	A	19	8月2日	ND.
56	AB	20	8月1日	4.7	161	A	10	8月2日	ND.	161	A	10	8月2日	ND.
56	AB	30	8月1日	259.6	161	A	20	8月2日	ND.	161	A	20	8月2日	ND.
197	AB	10	8月1日	ND.	44	A	10	8月2日	ND.	44	A	10	8月2日	ND.
197	AB	20	8月1日	ND.	44	A	20	8月2日	ND.	44	A	20	8月2日	ND.
199	AB	10	8月1日	ND.	45	A	10	8月2日	ND.	45	A	10	8月2日	ND.
199	AB	20	8月1日	ND.	45	A	20	8月2日	1.0	45	A	20	8月2日	1.0
199	AB	29	8月1日	ND.	45	A	27	8月2日	27.6	45	A	27	8月2日	27.6

単位:µg-As/L

DPAA : ジフェニルアルシン酸

A : A井戸周辺  
 B : B地区  
 AB : AB間  
 G : 掘削調査地点周辺  
 外周 : ABトラック外周部

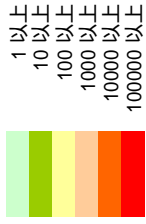
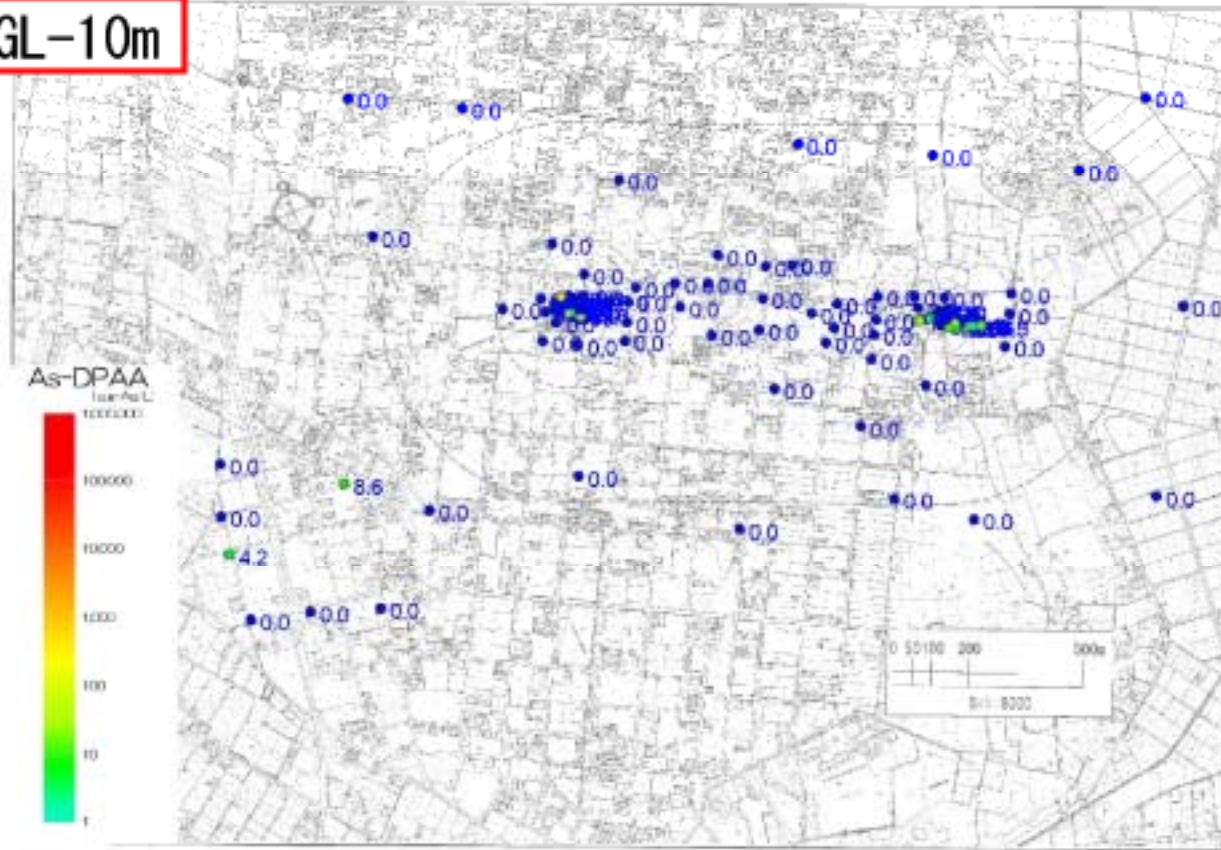


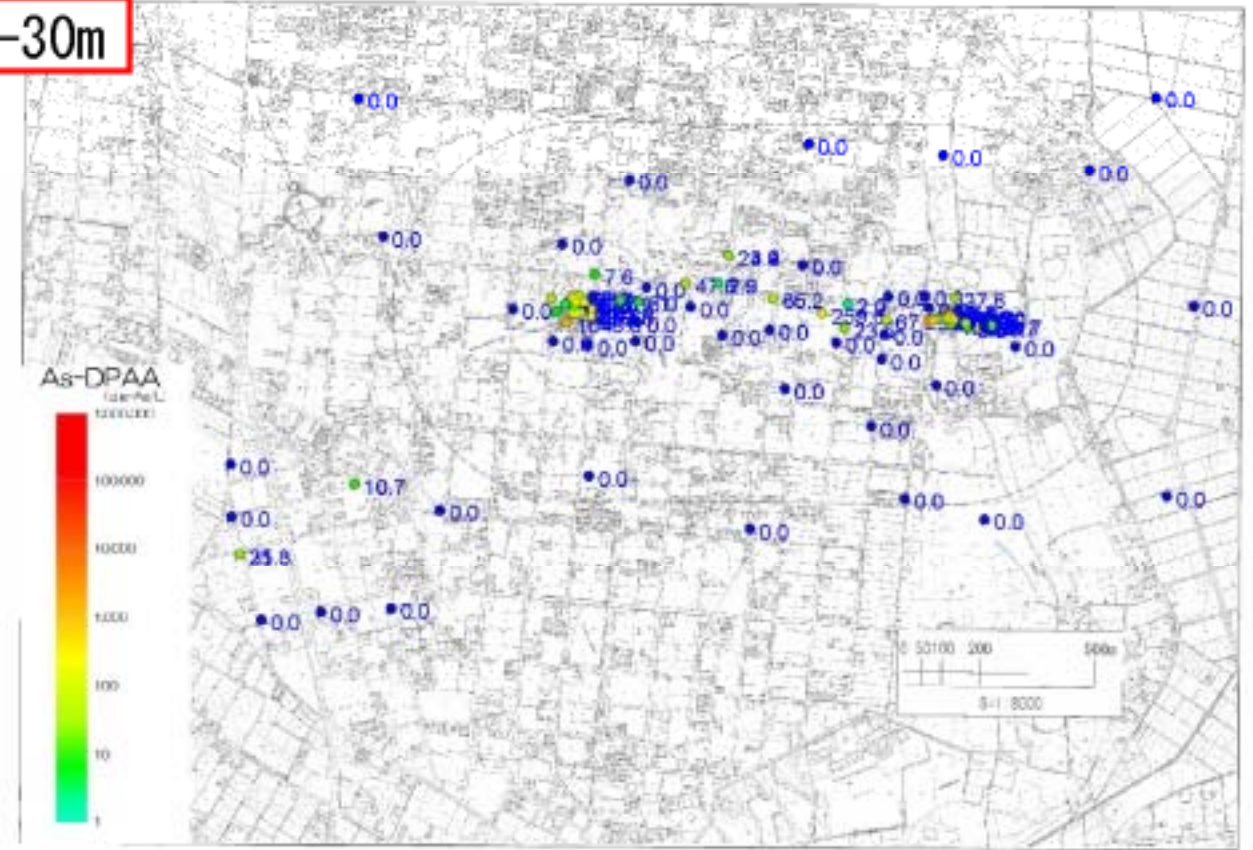
図3.4.13 2005年夏季(7~8月)ABトラック地下水DPAA汚染状況図

単位:  $\mu\text{g-As/L}$

GL-10m



GL-30m



GL-20m

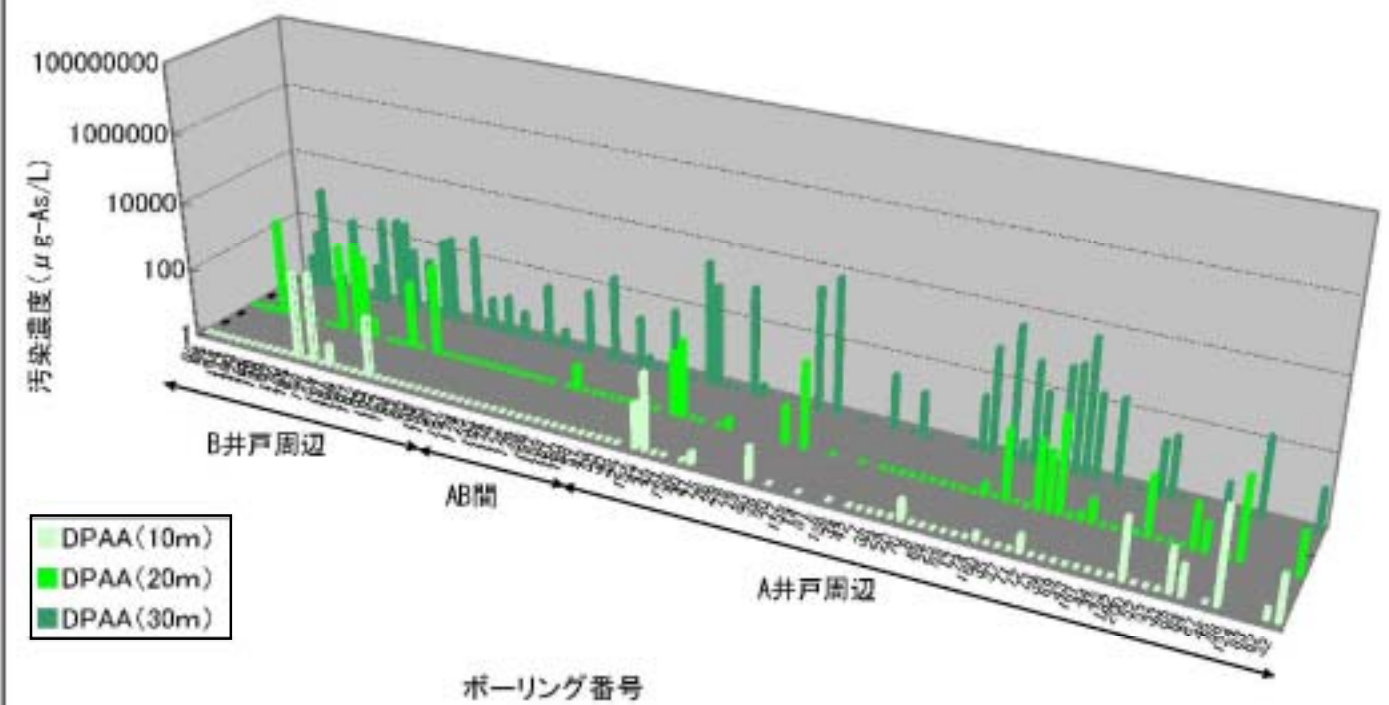
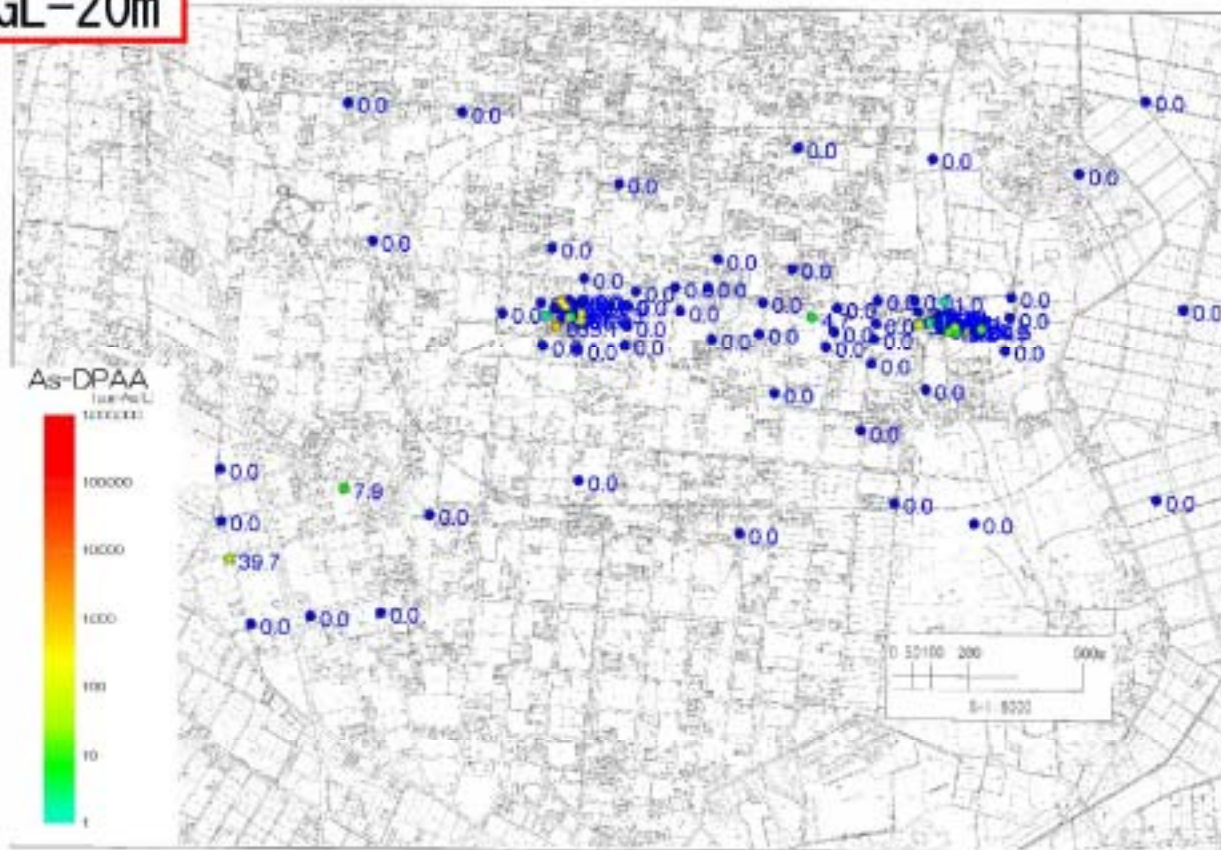




図3.4.15 2005年夏季(7~8月)B地区地下水DPAA汚染状況図

単位:  $\mu\text{g-As/L}$

